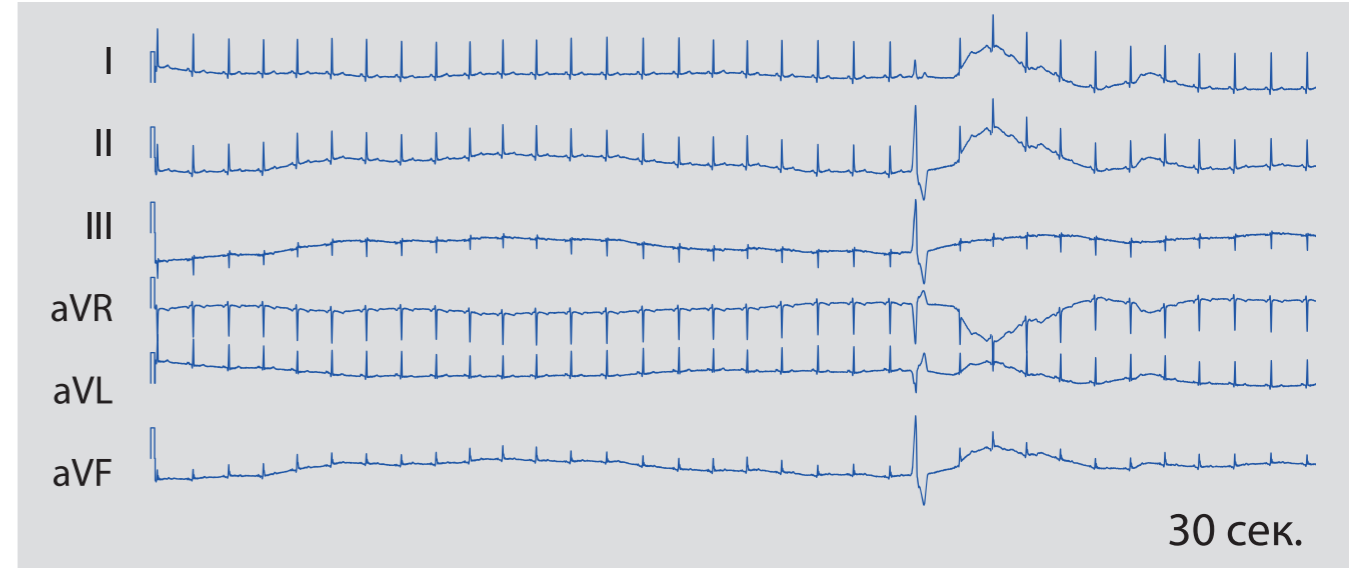
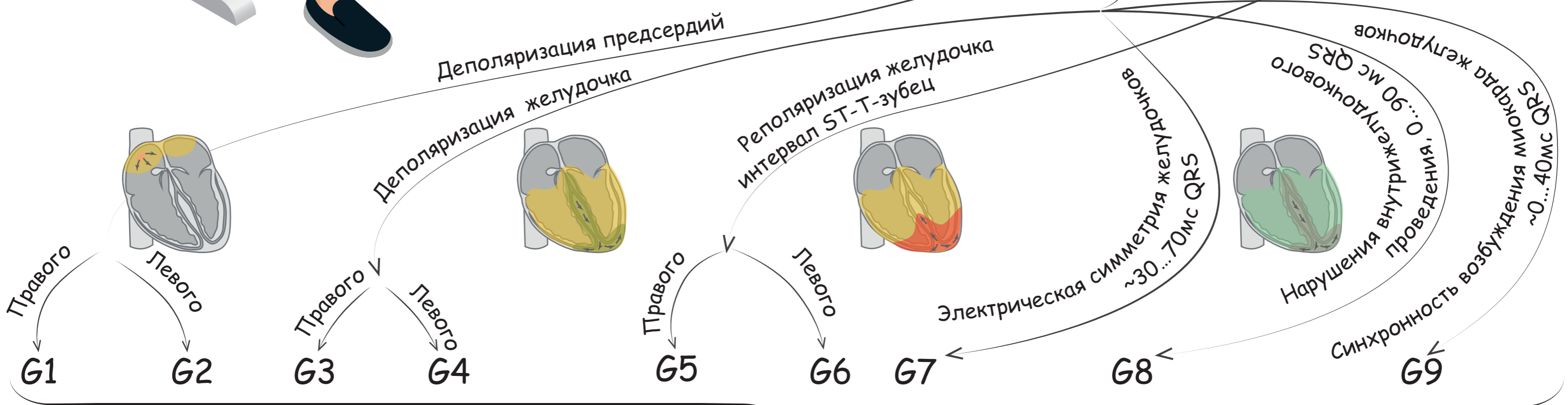
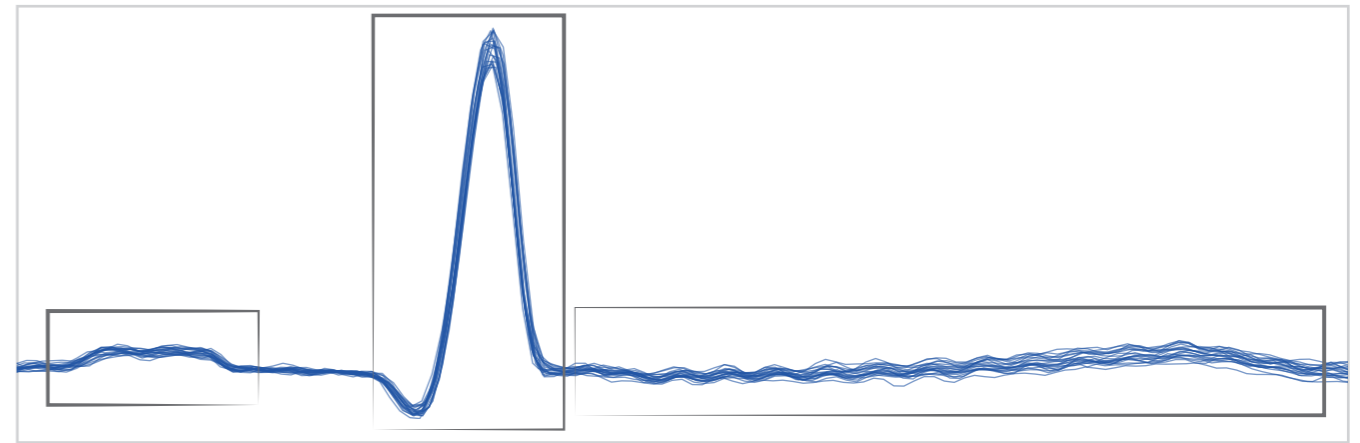




Регистрация ЭКГ в максимальном покое 30 секунд.



Синхронизация P-QRS-T комплексов. Выделение зон анализа микроальтернаций.



Интегральный индекс «Миокард» учитывает все индексы от G1...G9

|  | Миокард 0%...14% | Миокард 15%...18% | Миокард 19%...23% | Миокард 24%...100% |
|--|------------------|-------------------|-------------------|--------------------|
| <b>G1 ≥ 6, G2 ≥ 4</b> и индекс электрической нестабильности зеленого цвета               | вариант нормы    | ♥                 | ♥♥                | ♥♥♥                |
| <b>G1 ≥ 6, G2 ≥ 4</b> и индекс электрической нестабильности жёлтого или красного цвета   | ♥                | ♥♥                | ♥♥♥               | ♥♥♥♥               |
| <b>G3 или G4 или G7 ≥ 1</b>  | вариант нормы    | ♥♥                | ♥♥♥               | ♥♥♥♥               |
| <b>G3 или G4 ≥ 1</b> и, одновременно, <b>G7 ≥ 1</b>                                      | ♥                | ♥♥♥               | ♥♥♥♥              | ♥♥♥♥               |
| <b>G5 или G6 ≥ 1</b> и, одновременно, <b>G3 и G4 и G7 &lt; 1</b>                         | ♥                | ♥                 | ♥♥                | ♥♥♥                |
| <b>G5 или G6 ≥ 1</b> , и хотя бы один из <b>G3, G4, G7, G8 ≥ 1</b> или <b>G9 ≥ 4</b>     | ♥                | ♥                 | ♥♥♥               | ♥♥♥♥               |
| <b>G9 ≥ 4</b> и в последовательных обследованиях колебания <b>G9</b> превышают 4 единицы | ♥                | ♥♥♥               | ♥♥♥               | ♥♥♥♥               |
| <b>G9 &gt; 9</b> и пациент младше <b>18 лет</b>  | ♥                | ♥                 | ♥♥♥               | ♥♥♥♥               |
| <b>G9 &gt; 9</b> и пациент старше <b>18 лет</b>  | ♥                | ♥♥♥               | ♥♥♥♥              | ♥♥♥♥               |

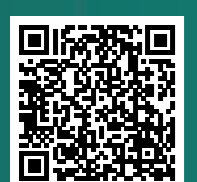
♥ - возможно, вариант нормы или следствие стресса

♥♥♥ - явная электрическая нестабильность миокарда  
рекомендуется регистрация ЭКГ покоя в 12 отведениях лежа

♥♥ - умеренные признаки электрической нестабильности миокарда

♥♥♥♥ - выраженная электрическая нестабильность миокарда  
рекомендуется регистрация ЭКГ покоя в 12 отведениях лежа

1. Иванов Г. Г., Сула А. С. Анализ микроальтернаций ЭКГ методом дисперсионного картирования в клинической практике. Москва: Техносфера, 2014. - 104 с.  
 2. Cruz-Gonzalez I., DeJoseph-Gauthier D., Raffel O.C., Jang I.K. Non-invasive assessment of myocardial ischaemia by using low amplitude oscillations of the conventional ECG signals (ECG dispersion mapping) during percutaneous coronary intervention, Acta Cardiologica. 2009 Feb; 64(1):11-15.  
 3. Kellett J., Rasool S. The prediction of the in-hospital mortality of acutely ill medical patients by electrocardiogram (ECG) dispersion mapping compared with established risk factors and predictive scores — A pilot study. European Journal of Internal Medicine. 2011 Aug; 22(4):394-398.  
 4. Функциональная диагностика. Национальное руководство / Под ред. Н. Ф. Берестень, В. А. Сандрикова, С. И. Федоровой. Москва: ГЭОТАР-Медиа, 2019. - 784 с.



АПК ЗДОРОВЬЕ-ЭКСПРЕСС,  
РУ ФСР 2010/07742



Система скрининга сердца  
компьютерная «Кардивизор»,  
РУ № ФСР 2007/00155



Электрокардиограф  
компьютерный KARДи,  
РУ № РЗН 2022/19116



Комплекс аппаратно-программный  
для скрининга сердца «КарДиРу»,  
№ РЗН 2013/778

